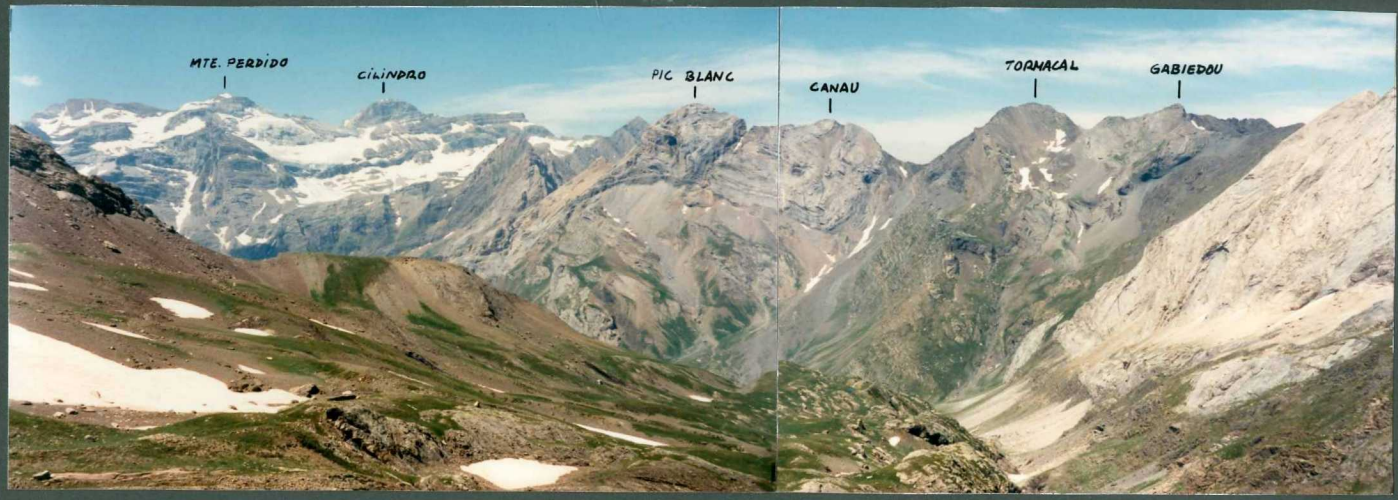
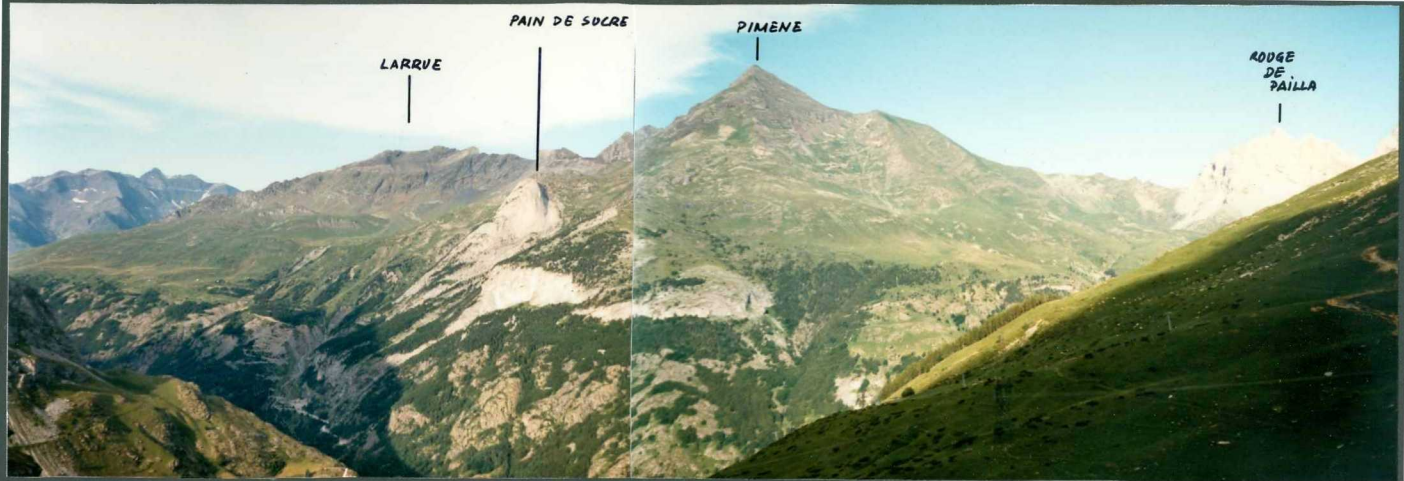


0 .- Panorámica de la ladera S del macizo de Vignemale, en el río Ara.



1.- Panorámica desde los lagos de La Munia, del Circo de La Larry . Al fondo macizo del Monte Perdido. Se aprecia de derecha a izquierda la caliza blanca del D_2 , la serie pizarreña del D_4^B y calizas amarillentas del D_4 , caliza grís del pico Gabiedou (D_5^G) y serie de Sia (D_5^q) (Pico Tormacal). Se observa el cabalgamiento precoz hercínico con caliza D_5^C en el sinclinal de La Canau, discordante debajo del Cretáceo superior del Pic Blanc.



10.- Vista de la ventana tectónica de Gavarnie - Heas , mostrando las migmatitas y rocas metamórficas del autóctono. Se aprecian las cali - zas D_2 que forman el Pain de Sucre, y el resto de la serie devónica hasta la serie de Sia en el Pico Pimene y Larrue . A la derecha Cretáceo superior del Pico Rouge de Pailla.



11.- Panorámica complementaria de la anterior. Vista del Pimene y de la Hourquette d´Alans.



12.- Vista de los lagos de la Munia y Col de la Munia.

13.- Vista hacia el W desde los lagos de la Munia, en primer plano la serie de Sia.





14.- Aspecto de uno de los afloramientos de Siluriano en el valle de Otal. Pizarras negras y calizas.



15.- Vista del N. del Puerto de Plana del Alba, con la serie de Sia y calizas D_5^A .

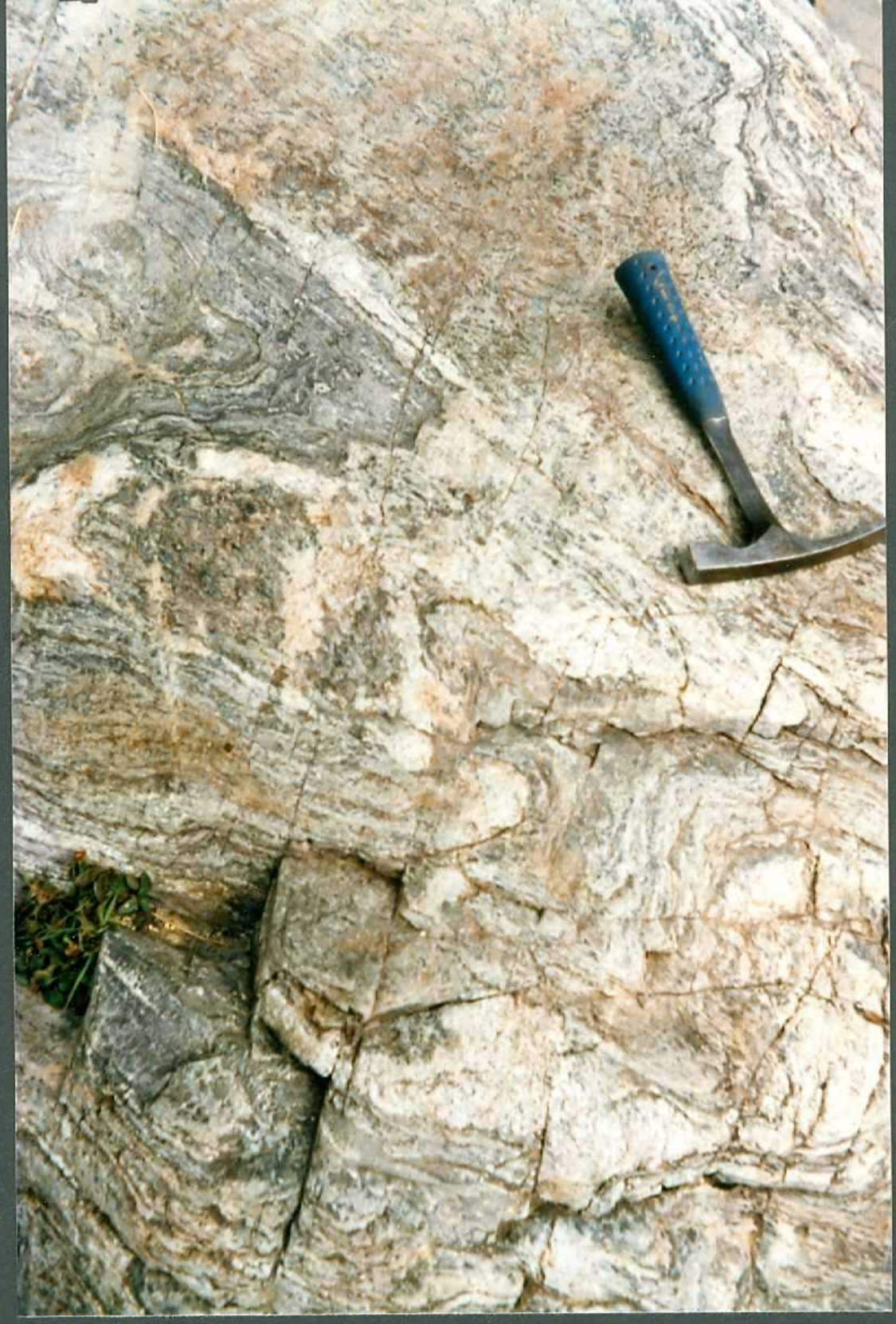
16.- Vista hacia el S. desde el mismo puerto, con la misma serie.







17 y 18.- Efecto de teñido a favor de diaclasas y fracturas, en las cuarcitas de la serie de Sia en la Hourquette d´Alans, a partir de las series rojas del Permo - Trías posteriormente erosionadas.



19.- Migmatitas aflorantes en el autóctono del Circo de la Larry .

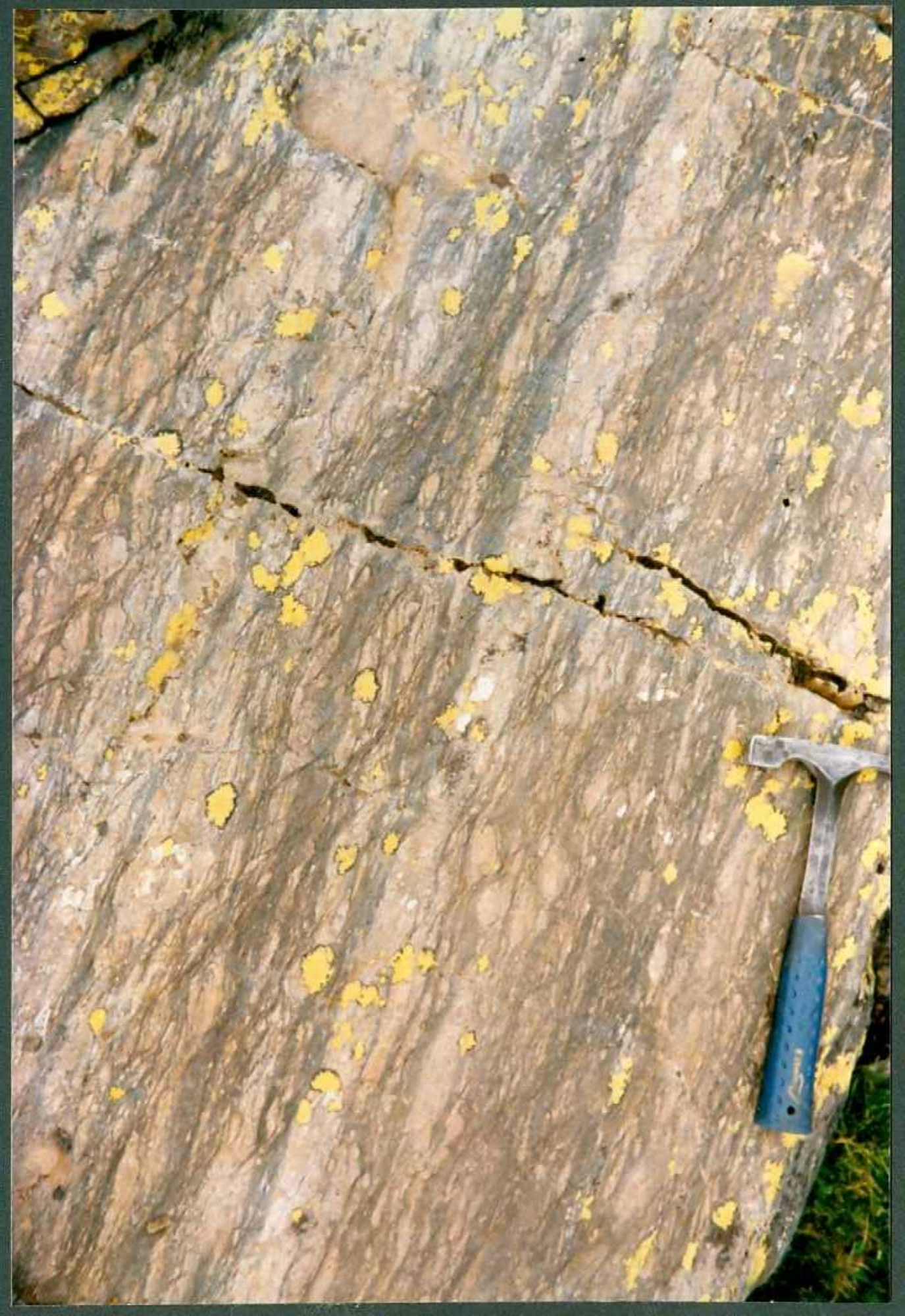


2.- Cabalgamiento del Pico de Secres , y serie cabalgada tipo Bernatuara - Lapazosa, desde la caliza blanca D_2 a la izquierda hasta la caliza de Bernatuara (D_5^G) en el pico Gabiet.



20 y 21.- Aspecto de las pelitas con microrritmos y pseudonódulos arenosos en el Circo de Estaube y en el Río Ara.

21. NO TIENE UBICACIÓN EN EL PLANO DE SITUACIÓN DE MUESTRAS





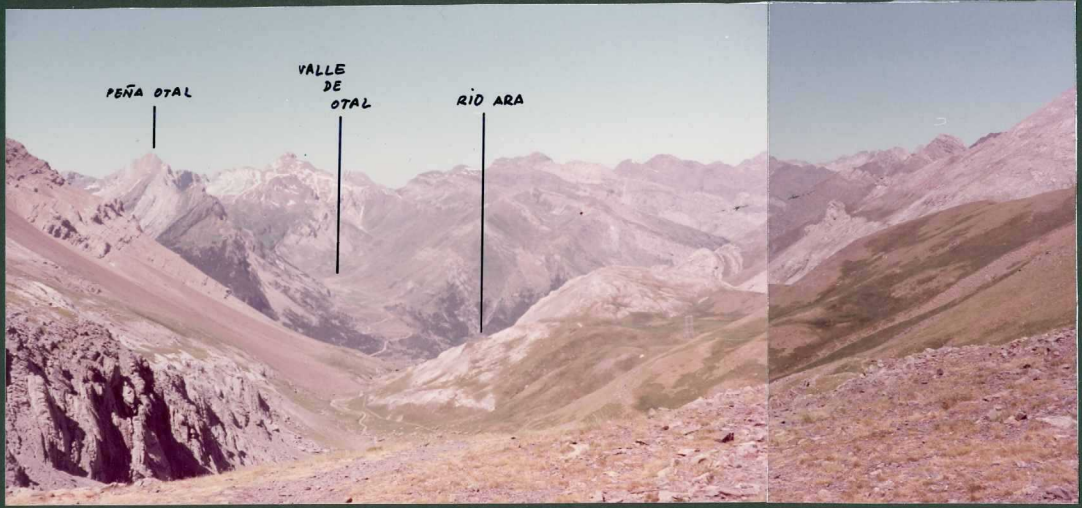


22.- Aspecto de la green formation de VAN LITH (1965) o serie de Sia "superior" en el Collado de las Puertas (D_5^{qc})

23.- Flutes y marcas de corriente en las pizarras de la green formation en el valle de la Canau (Pic de Lourdes).



24.- Vista del Pico Crapera en el valle del Ara.



25.- Panorámica desde el Puerto de Bujaruelo del Barranco de Lapazosa y valle de Otal. En primer término a la derecha la serie detrítica del Carbonífero, más allá Calizas H^c y D_6 . Al fondo valle de Otal, con el cabalgamiento de la Peña Otal.



26.- Vista del valle del río Real. En primer término calizas y dolomías del Muschelkalk . A derecha e izquierda del valle, farallones calizos del D_2 . Al fondo sinclinal del Chinipro en la serie de tránsito Devoniano - Carbonífera (D_6 - H^c)



27.- Cretáceo superior "pellizcado" bajo el cabalgamiento del Ara. Se aprecia la discordancia entre el Cretáceo y el Paleozoico. Foto tomada en las cercanías de la confluencia de los ríos Otal y Ara.



28.- Collado de Tendeñera desde el valle de Otal, se aprecia uno de los contactos mecánicos en la base del Cretáceo superior, discordante sobre las pizarras del Devoniano (D_3)



29.- Valle de los Tourettes hacia el Puerto de Bujaruelo. Serie cretácica, con el contacto de base trasero de la Unidad de Monte Perdido.



3.- Otra panorámica, en la que se aprecia mejor la serie cabalgante del Pico de Secres, desde la entrada del valle de la Canau.

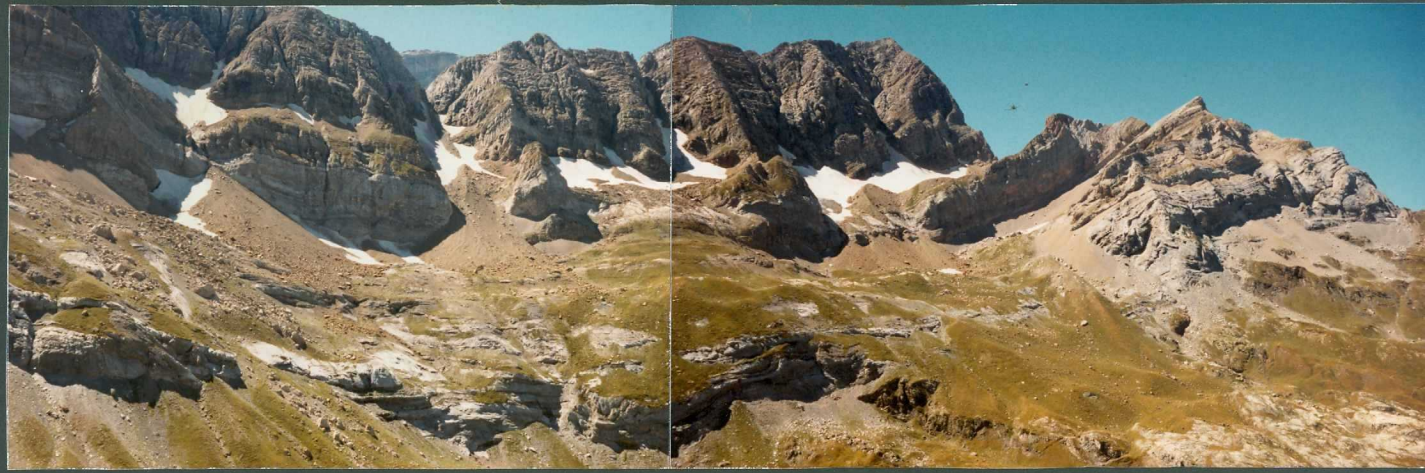


30.- Pico Rouge de Pailla y Hourquette de Alans desde el Circo de Estaube. En primer término calizas D_2 .

31.- Las Roches Blanques y los Picos de Astazou. Se aprecia claramente el contacto basal de la Unidad de Monte Perdido .

• NO TIENE UBICACIÓN EN EL PLANO DE SITUACIÓN DE MUESTRAS.





32.- Vista del fondo del Circo de Estaube mostrando la prolongación hacia el E del contacto trasero de base de la Unidad de Monte Perdido.



33.- Vista del Barranco de Lapazosa hacia el Puerto de Bujaruelo con el contacto de base de la Unidad de Monte Perdido hacia el W . Serie cretácica de la Unidades de Monte Perdido y Gavarnie y a la izquierda Paleozoico .

34.- Vista del valle de Pouey - Aspé hacia el Puerto de Bujaruelo .
• NO TIENE UBICACIÓN EN EL PLANO DE SITUACIÓN DE MUESTRAS





35.- Escamas entre Paleoceno ($T_1^{A_d} + T_1^{A_c}$) y arenisca de Marboré (C_{25-26}) en el Pico de Mondaruego (Murallas de la Gatera). En las cumbres flysch eoceno tipo Bolavé - Mondiciero ($T_{21}^{a\,A_{b1}}$).

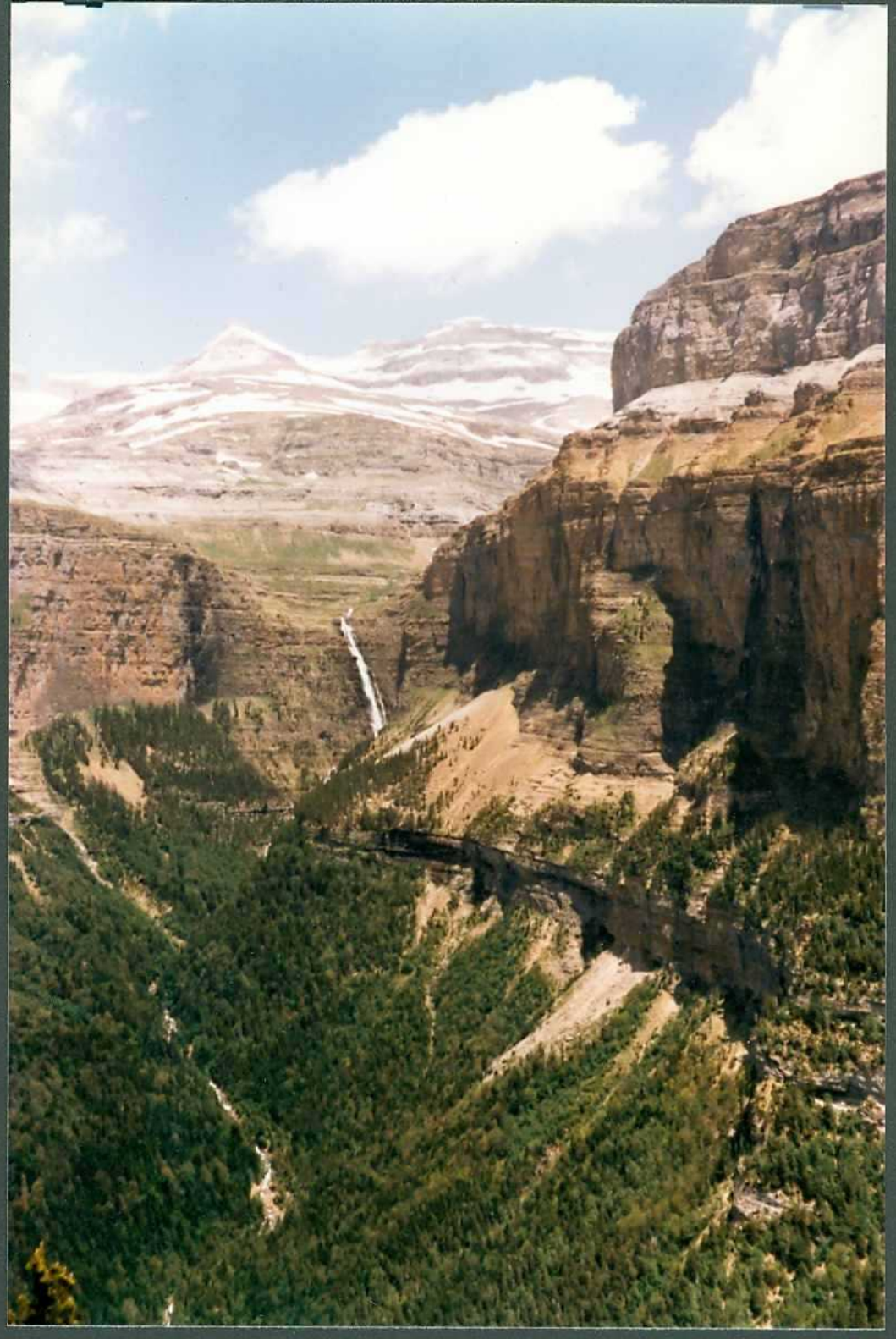


36.- Vista del valle de Pineta, en primer plano pliegues en cascada en las calizas C_{21-24} .



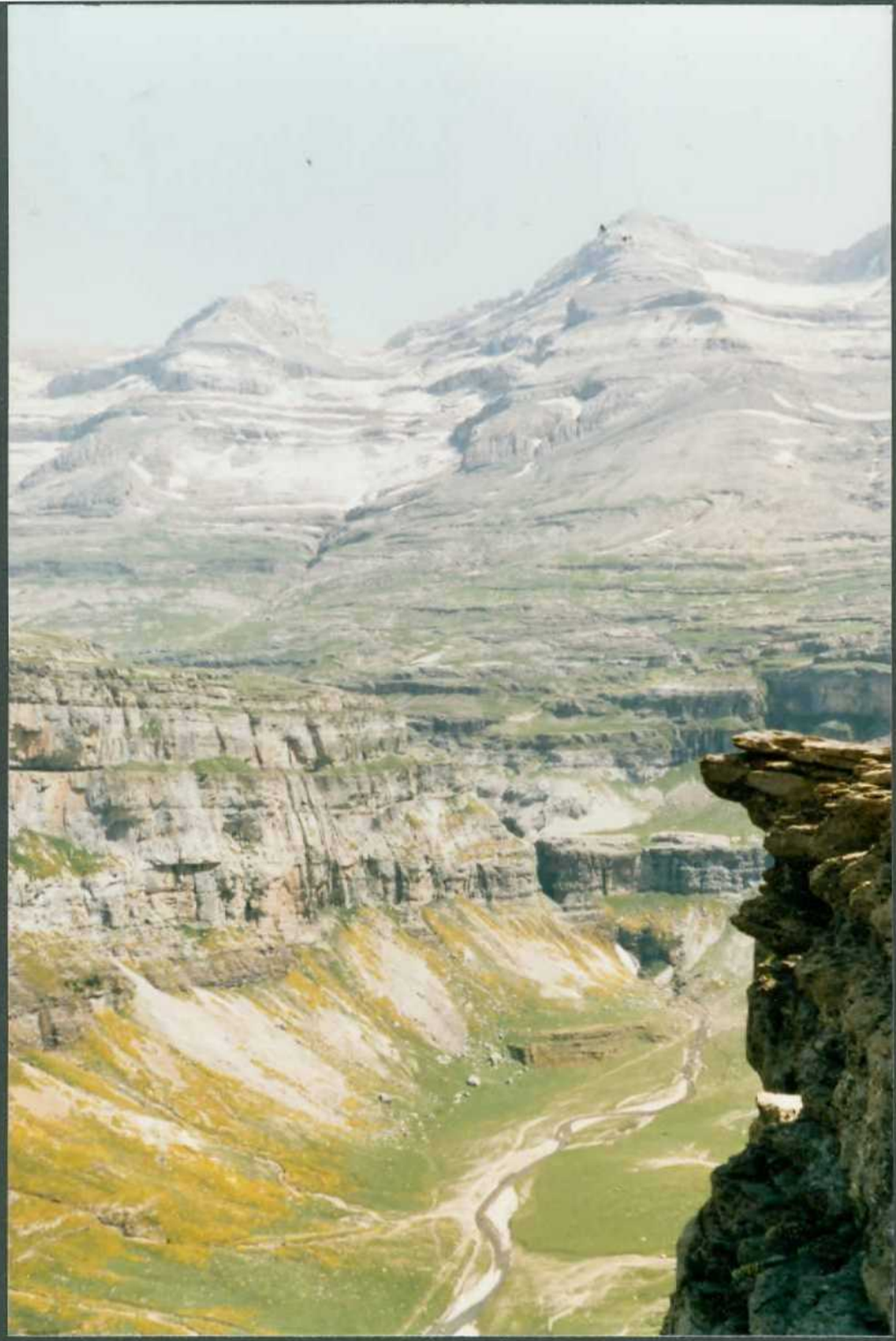
37.- Aspecto parcial del Circo de Pineta en areniscas de Marboré (C_{25-26}) y contacto mecánico en el C_{24-25}.

• NO TIENE UBICACIÓN EN EL PLANO DE SITUACIÓN DE MUESTRAS



38.- Valle de Ordesa. Serie del Cretáceo superior y Paleoceno. Al fondo cumbres del Casco y Brecha de Roland.

• NO TIENE UBICACIÓN EN EL PLANO DE SITUACIÓN DE MUESTRAS



39.- Circo de Soaso en las calizas del Paleoceno - Ilerdiense y arenisca de Marboré aflorantes en el fondo del circo. Al fondo, pliegues y estructuras en el Terciario basal de las laderas meridionales de los picos Cilindro y Monte Perdido .

• NO TIENE UBICACIÓN EN EL PLANO DE SITUACIÓN DE MUESTRAS



4.- Panorámica de la Zona E del Circo de Estaube desde el Cretáceo superior del Pico Blanco, caliza de la Canau, anticlinal con serie de Sia y caliza de Gabiedou en el nucleo, y Picos de Estaube con serie de Sia y sinclinal colgado de caliza D_5^C. En el fondo del valle se observa el Cretáceo del autóctono que soporta encima el manto de Gavarnie con Siluriano y caliza D_2 .

NO TIENE UBICACIÓN EN PLANO DE SITUACIÓN DE MUESTRA



40.- Anticlinal de Goriz. En el nucleo calizas blancas del Paleoceno, y hacia los flancos calizas arenosas amarillentas, margas ilerdienses cubiertas por pradera, calizas del Ilerdiense (T_{21}^{Aa1}) y margas de Millaris (T_{21}^{Aa2}) . Al fondo discordante el flysch eoceno tipo Bolave - Mondiciero .

41.- Vista de las cumbres del macizo de Monte Perdido con cabalgamiento de arenisca de Marboré (C_{25-26}) sobre Paleoceno ($T_1^{A_c}$) en el Casco. En el centro de la foto el anticlinal de Goriz. En primer plano arenisca de Marboré .

• NO TIENE UBICACIÓN EN EL PLANO DE SITUACIÓN DE MUESTRAS





42.- Estratificación en harring-bone en las calizas arenosas del Paleozoico, en la pista a San Nicolás de Bujaruelo .

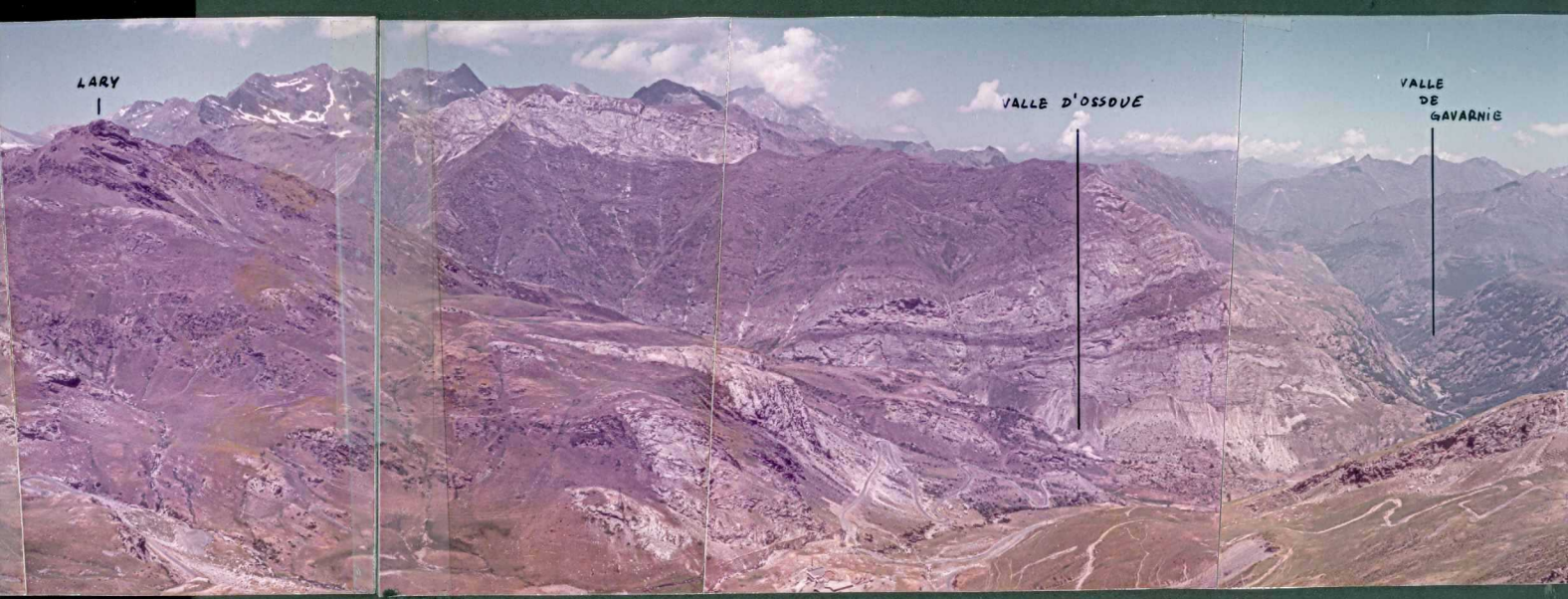
• NO TIENE UBICACIÓN EN EL PLANO DE SITUACIÓN DE MUESTRAS



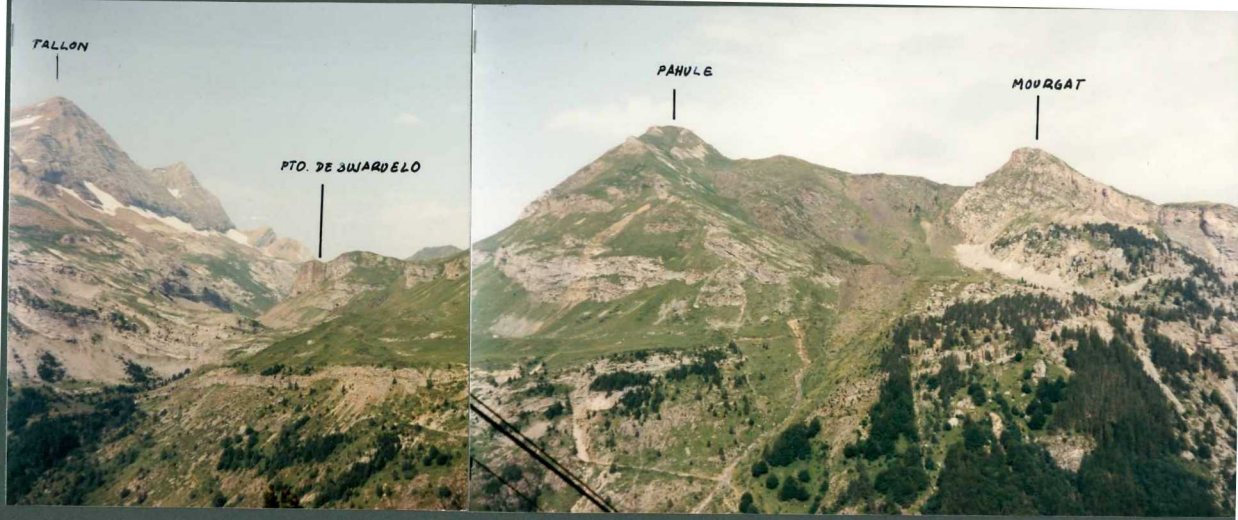
43 y 44.- Amortiguación de la Unidad de Monte Perdido en el flysch eoceno (serie basal del Oeste, $T^{Ao}_{mw}_{22}$) al SW de la Peña Otal. Arriba vista hacia el E y abajo hacia el W . Observese como en la vista hacia el E hay plegamiento y disarmonía, mientras que en la otra panorámica tan solo existe plegamiento.

44. NO TIENE UBICACIÓN EN EL PLANO DE SITUACIÓN DE NUESTRAS





5.- Confluencia de los valles de Especieres y la Gave de Ossoue. En primer término el Pico de Lary.



6.- Caliza D_2 del Pico Mourgat, Devoniano pelítico - arenoso (D_5^a) y calizas del Devoniano superior en el Pico de la Pahule. En el nucleo, calizas de la base del Carbonífero. Esta serie forma parte del manto de Gavarnie que viene sobre el Cretáceo autóctono de la ventana tectónica de Gavarnie - Heas .

• NO TIENE UBICACIÓN EN EL PLANO DE SITUACIÓN DE MUESTRAS



7.- Macizo del Vignemale desde la presa de Ossoue. Anticlinal con núcleo en D_1 , se aprecia en los flancos, la caliza D_2 y la formación sinóptica D_{3-4}.

8.- Vista del Coste d´Aspe, con la serie devónica desde el D_2 hasta la caliza D_5^G de Gabiedou





9.- Panorámica del Circo de Troumouse . Se aprecia la serie devónica desde el D_1 , bajo las calizas blancas D_2 de la Pene Blanque, hasta la serie de Sia con continuidad. Así mismo se observa el cabalgamiento bajo el sinclinal del Pico de La Munia.